

บทที่ 3

ทฤษฎีที่เกี่ยวข้อง

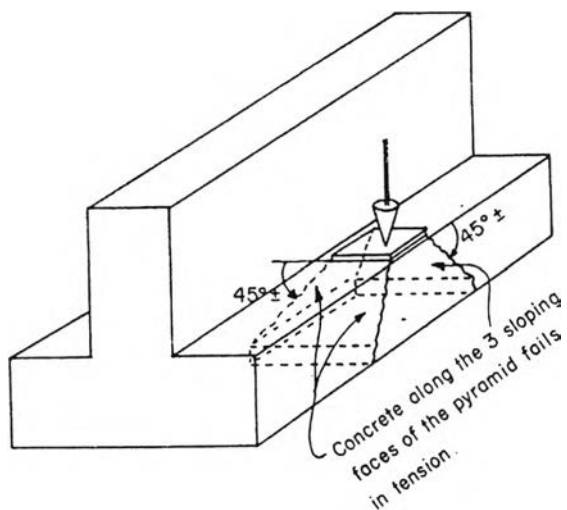
พฤติกรรมของคานขวางที่สำคัญคือ กำลังรับแรงเฉือนของบ่ารองรับ กำลังการรับแรงดัด การแอ่นตัว และขนาดรอยแตกร้าว ซึ่งในการออกแบบคานขวางการวิบัติเนื่องจากแรงเฉือนในบ่ารองรับจะต้องไม่เกิดขึ้น และมีกำลังรับโมเมนต์ดัดเพียงพอต่อน้ำหนักที่มากกระทำ โดยที่การแอ่นตัว และขนาดของรอยแตกร้าวจะต้องอยู่ในช่วงที่ยอมรับได้ ในบทนี้จะกล่าวถึงทฤษฎีเกี่ยวกับพฤติกรรมของคานขวางตามที่กล่าวข้างต้น

3.1 กำลังรับแรงเฉือนของบ่ารองรับ

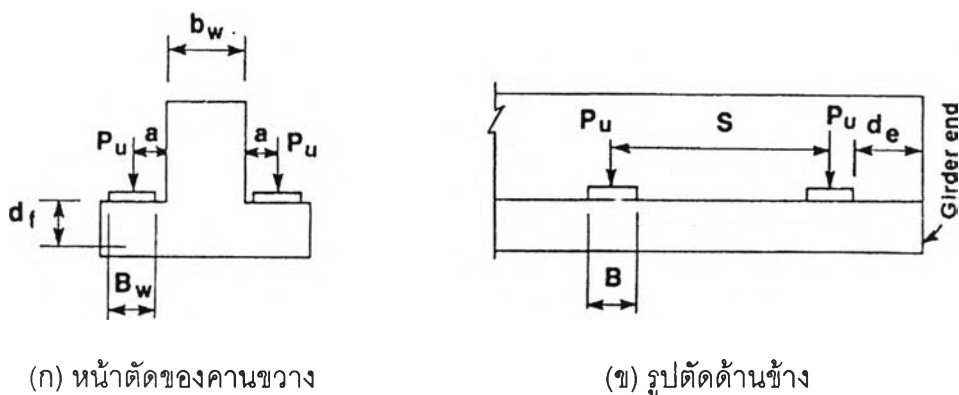
บ่าของคานขวางทำหน้าที่รองรับคานหลักโดยส่งผ่านแรงจากแผ่นยางรองรับ (bearing pad) ดังนั้นกำลังรับแรงเฉือนของบ่าจะต้องเพียงพอเพื่อไม่ให้เกิดการวิบัติแบบเฉพาะที่ในบ่ารองรับ โดยทั่วไปอัตราส่วนของความยาวช่วงรับแรงเฉือนต่อความลึกประสิทธิภาพจะมีค่าน้อยกว่า 1 ดังนั้นกำลังรับแรงเฉือนที่กำหนดไว้ตามมาตรฐาน ACI318-05 สำหรับแป้นหูช้างสามารถนำมาประยุกต์ใช้พิจารณากำลังรับแรงเฉือนของบ่ารองรับ กำลังรับแรงเฉือนของบ่ารองรับที่ต้องพิจารณาประกอบด้วยกำลังรับแรงเฉือนทะเล, กำลังรับแรงเฉือนเสียดทาน, และกำลังรับแรงเฉือนการอัดแตกในคอนกรีต ซึ่งค่าความหนาของบ่ารองรับจะถูกพิจารณาตามกำลังรับแรงเฉือนที่กล่าวมา

3.1.1 กำลังรับแรงเฉือนทะเล (punching shear resistance)

กำลังรับแรงเฉือนทะเลของบ่าที่รองรับ จะคำนวณจากแรงดิ่งที่ต้านทานด้วยคอนกรีตตามพื้นผิวรูปทรงพีรามิดยอดตัดภายใต้แผ่นยางรองรับดังแสดงในรูปที่ 3.1 หน้าตัดวิกฤติสำหรับพิจารณาแรงดิ่งต้านทานโดยคอนกรีตมี 3 ด้านและทำมุมเอียง 45 องศาเทียบกับแนวระนาบที่วางแผ่นยางรองรับ แต่สำหรับบ่ารองรับคานหลักตัวริมนอกสุดของคานขวางหากต้องการให้รับกำลังรับแรงเฉือนแบบเจาะทะเลได้เท่ากับบ่าช่วงใน กล่าวคือมีหน้าตัดวิกฤติ 3 ด้าน จะต้องเว้นระยะจากขอบของแผ่นยางรองรับจนถึงริมนอกสุดของคานขวาง (d_c) ไว้อย่างน้อยเท่ากับผลรวมของความหนาของบ่าและความกว้างของแผ่นยางรองรับ ($d_f + B_w$) ในกรณีทีระยะ d_c น้อยกว่า $d_f + B_w$ การคำนวณกำลังรับแรงเฉือนทะเลจะพิจารณาหน้าตัดวิกฤติลดลงเหลือเพียงสองด้าน (ดูรูปที่ 3.2 ประกอบ)



รูปที่ 3.1 การวิบัติที่แผ่นรองรับตัวในเนื่องจากแรงเฉือนแบบทะลุ



(ก) หน้าตัดของคานขวาง

(ข) รูปตัดด้านข้าง

รูปที่ 3.2 ระยะการติดตั้งแผ่นยางรองรับ

กำลังรับแรงเฉือนทะลุของคอนกรีตจะพิจารณาตามสมการที่ (3.1ก) ถึง (3.1ค) โดยเลือกใช้ค่าน้อยที่สุด

$$V_c = 0.265 \left(2 + \frac{4}{\beta} \right) \sqrt{f'_c} b_0 d_f \tag{3.1ก}$$

$$V_c = 0.265 \left(2 + \frac{\alpha_s d_f}{b_0} \right) \sqrt{f'_c} b_0 d_f \tag{3.1ข}$$

$$V_c = 1.06 \sqrt{f'_c} b_0 d_f \tag{3.1ค}$$

โดยตัวแปรที่ใช้ในสมการมีนิยามดังนี้ (ดูรูปที่ 3.2 ประกอบ)

b_0 = เส้นแนวนอนตัดตวัดิกฤติอยู่ห่างจากขอบของแผ่นยางรองรับเท่ากับครึ่งหนึ่งของความลึกประสิทธิผล ในกรณีที่หน้าตัดตวัดิกฤติเท่ากับ 3 ด้าน Mirza และ Furlong (1985) ได้เสนอค่านี้ไว้เท่ากับ $B + 2B_w + 2d_f$ ในกรณีที่หน้าตัดตวัดิกฤติเท่ากับ 2 ด้าน ค่านี้มีค่าเท่ากับ $B + B_w + d_f$

d_f = ความลึกประสิทธิผลของบ่า

β = อัตราส่วนของด้านยาวต่อด้านสั้นของเสาหรือแรงเฉือนแบบจุดที่มากกระทำ ในที่นี้จะใช้ค่าอัตราส่วนความยาวต่อความกว้างของแผ่นยางรองรับ

α_s = 30 สำหรับกรณีที่มีหน้าตัดตวัดิกฤติ 3 ด้าน และ 20 สำหรับกรณีที่มีหน้าตัดตวัดิกฤติ 2 ด้าน

ในกรณีที่มีการเสริมเหล็กช่วยรับแรงเฉือนบางส่วน ค่ากำลังรับแรงเฉือนโดยคอนกรีต (V_c) จะถูกกำหนดให้ใช้ไม่เกิน $0.53\sqrt{f_c}'b_0d_f$ และค่ากำลังรับแรงเฉือนระบุ (V_u) เมื่อมีการเสริมเหล็กแล้วจะต้องมีค่าไม่เกิน $1.59\sqrt{f_c}'b_0d_f$

ในการศึกษานี้การคำนวณความหนาของบ่าของคานขวางจะใช้ค่ากำลังรับแรงเฉือนระบุในกรณีที่มีการเสริมเหล็กรับแรงเฉือนในการพิจารณา โดยจะแบ่งออกได้เป็น 2 กรณีคือเมื่อมีหน้าตัดตวัดิกฤติรับแรงเฉือน 2 และ 3 ด้าน สำหรับคานหลักที่อยู่นอกสุด และคานหลักตัวในตามลำดับ ซึ่งแสดงไว้ในสมการที่ 3.2

$$d_f = -\frac{(B+B_w)}{2} + \sqrt{\frac{(B+B_w)^2}{4} + \frac{P_u}{\phi 1.59\sqrt{f_c}'}} \quad (3.2)$$

$$d_f = -\frac{(B+B_w)}{4} + \sqrt{\frac{(B+B_w)^2}{16} + \frac{P_u}{2\phi 1.59\sqrt{f_c}'}}$$

3.1.2 กำลังรับแรงเฉือนเสียดทาน (friction shear resistance)

กำลังรับแรงเฉือนเสียดทานของบ่าคานขวางจะขึ้นอยู่กับปริมาณเหล็กเสริมรับแรงเสียดทาน (shear-friction reinforcement) ที่บริเวณระนาบของรอยแตกตามสมการที่ (3.3)

$$V_u = \phi f_y A_{vf} \mu \quad (3.3)$$

โดยที่

- V_u = ค่าแรงเฉือนเสียดทานมากที่สุดที่บ่ารองรับต้านทานได้
 A_{vf} = พื้นที่ของเหล็กเสริมรับแรงเฉือนเสียดทานในบริเวณระนาบของรอยแตก
 f_y = กำลังครากของเหล็กเสริมรับแรงเฉือนเสียดทาน
 μ = สัมประสิทธิ์แรงเสียดทานของคอนกรีต

อย่างไรก็ตามค่ากำลังต้านทานแรงเฉือนเสียดทานนี้จะต้องไม่เกินค่าที่กำหนดไว้ในสมการที่ (3.4)

$$\begin{aligned}
 V_u &\leq 0.2\phi f'_c A_c \\
 &\leq \phi 56 A_c
 \end{aligned}
 \tag{3.4}$$

โดย

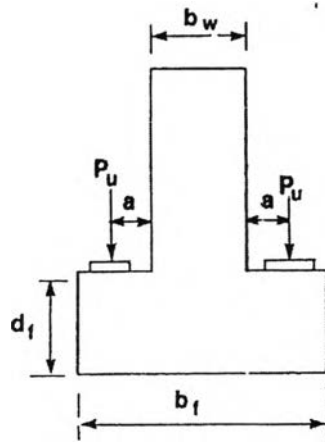
- f'_c = กำลังรับแรงอัดคอนกรีตรูปทรงกระบอก
 A_c = พื้นที่คอนกรีตต้านทานแรงเฉือน ซึ่ง Mirza และ Furlong (1985, 1994) ได้เสนอไว้ว่ามีค่าเท่ากับ $(B + 4a)d_f$ (ดูรูปที่ 3.3 ประกอบ)

เนื่องจากกำลังพิจารณาถึงค่าความหนาน้อยสุดของบ่ารองรับ สมการที่ (3.4) ซึ่งเป็นขอบเขตบนของกำลังรับแรงเฉือนเสียดทานจะถูกนำมาใช้พิจารณา ส่วนของปริมาณเหล็กเสริมรับแรงเฉือนเสียดทานนั้นจะต้องตรวจสอบให้รับแรงเฉือนได้เพียงพอ เนื่องจากงานวิจัยนี้เน้นไปที่พฤติกรรมของคานขวางกึ่งสำเร็จ รายละเอียดในการคำนวณหาเหล็กเสริมต้านทานแรงเฉือนเสียดทานจะไม่ขอล่าวถึงในที่นี้

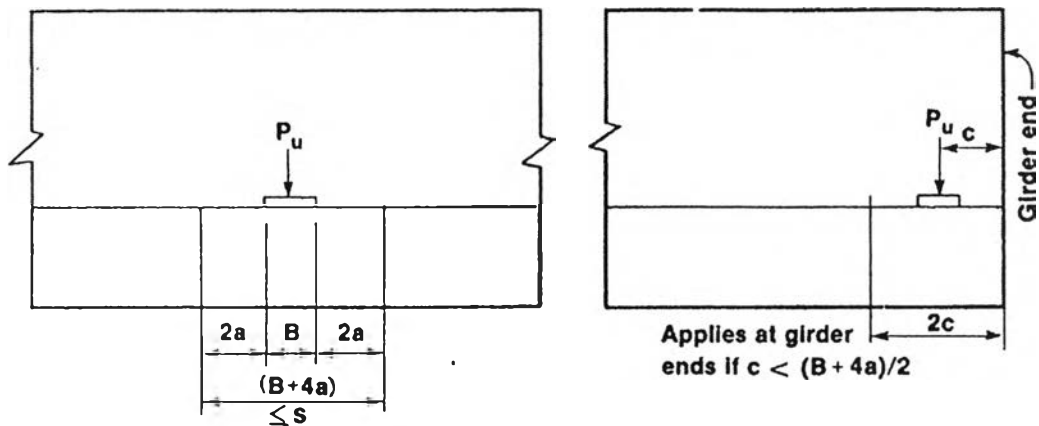
การคำนวณความหนาของบ่าของคานขวางเมื่อพิจารณากำลังรับแรงเฉือนเสียดทานของบ่า จะสามารถคำนวณได้จากสมการที่ (3.5)

$$d_f = \max \left(\frac{P_u}{0.2\phi f'_c (B + 4a)}, \frac{P_u}{\phi 56 (B + 4a)} \right)
 \tag{3.5}$$

- เมื่อ B = ความยาวของแผ่นยางรองรับ (แนวขนานกับแกนคานขวาง)
 a = ระยะจากผิวของส่วนเอวถึงศูนย์กลางของแผ่นยางรองรับ
 P_u = แรงที่ถ่ายจากคานหลักสู่แผ่นยางรองรับ



(a) Cross Section



(b) Effective Flange Length for Shear Friction

รูปที่ 3.3 ความกว้างประสิทธิผลของบ่าภายใต้แรงเฉือน

3.1.3 กำลังรับแรงเฉือนอัดแตกในแท่งคอนกรีตรับแรงอัด (compression shear failure)

แบบจำลองชิ้นส่วนรับแรงอัดและชิ้นส่วนรับแรงดึง (strut and tie model) ใช้วิเคราะห์กำลังของโครงสร้างคอนกรีตเสริมเหล็กโดยสมมติให้แรงอัดส่งผ่านแท่งคอนกรีต และแรงดึงส่งผ่านเหล็กเสริมหรือเหล็กเสริมอัดแรง รูปที่ 3.4 แสดงแท่งคอนกรีต (strut) เพื่อใช้ในการวิเคราะห์กำลังรับแรงเฉือนของแป้นหูช้างซึ่งสามารถนำมาประยุกต์ใช้กับบ่ารองรับในคานขวางได้

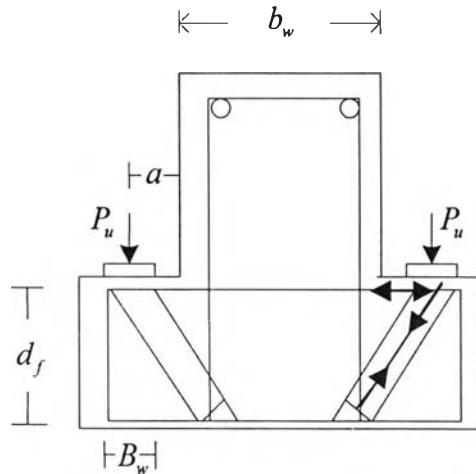
ในกรณีที่มีเหล็กเสริมเพียงพอกการวิบัติจะเกิดขึ้นจากการอัดแตกของแท่งคอนกรีต ซึ่งมาตรฐาน ACI318-05 กำหนดกำลังอัดแตกของแท่งคอนกรีตดังแสดงในสมการที่ (3.6)

$$F_{ns} = 0.85\beta_s f_c' A_{cs} \tag{3.6}$$

โดย

A_{cs} = พื้นที่หน้าตัดที่ปลายข้างใดข้างหนึ่งของแท่งคอนกรีตรับรับแรงอัด

β_s = 0.6 สำหรับแท่งคอนกรีตรับรับแรงอัดรูปขนาดที่ไม่ได้เสริมเหล็ก



รูปที่ 3.4 แบบจำลองสตรัทและไทของบารองรับ

ความกว้างประสิทธิภาพของหน้าตัดของแท่งคอนกรีตรับรับแรงอัดที่เชื่อมกับจุดต่อที่รับรับแรงอัด 2 ทิศทางและแรงดึง 1 ทิศทาง (C-C-T node) ดังแสดงในรูปที่ 3.5 หาได้จากขนาดความกว้างของแผ่นยางรองรับ (B_w) ขนาดความกว้างประสิทธิภาพของเหล็กเสริมรับรับแรงดึง และมุมระหว่างแท่งคอนกรีตรับรับแรงอัดและเหล็กเสริมรับรับแรงดึงดังแสดงในสมการที่ (3.7)

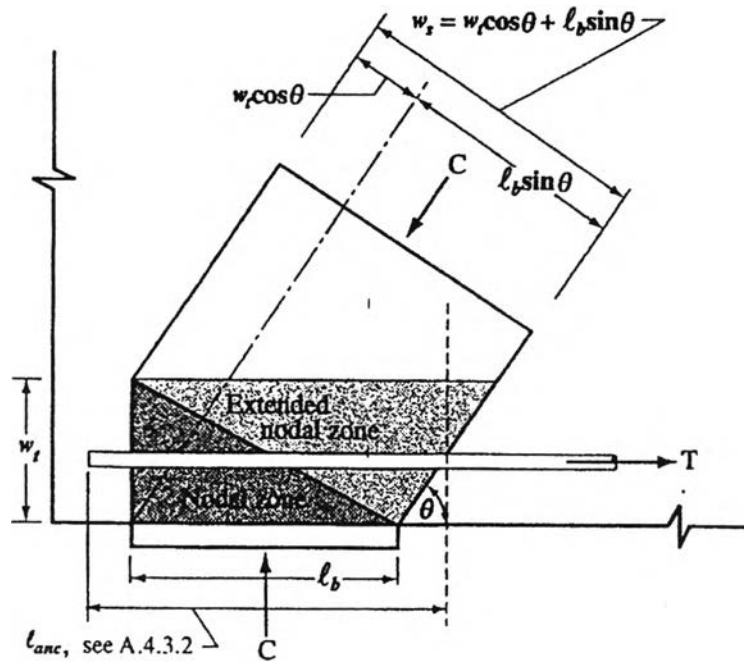
$$w_c = w_l \cos \theta + B_w \sin \theta \quad (3.7)$$

โดย

w_c = ขนาดความกว้างประสิทธิภาพของแท่งคอนกรีตรับรับแรงอัด

w_l = ขนาดความกว้างประสิทธิภาพของเหล็กเสริมรับรับแรงดึง ซึ่งมีค่าเท่ากับ 2 เท่าของระยะหุ้มเหล็กเสริมบวกกับขนาดของเหล็กเสริมเมื่อมีการเสริมเหล็ก 1 ชั้น

θ = มุมระหว่างแท่งคอนกรีตรับรับแรงอัดและเหล็กเสริมรับรับแรงดึง



รูปที่ 3.5 ขนาดความกว้างของชิ้นส่วนคอนกรีตเสริมเหล็ก
ในชิ้นส่วนรับแรงดึง 1 ชั้น

จากสมมูลของแรงที่กระทำ ณ จุดถ่ายแรงจากคานหลัก (ดูรูปที่ 3.4) จะสามารถหาค่าหน่วยแรงในแท่งคอนกรีตรับแรงอัดได้ ซึ่งค่าหน่วยแรงนี้จะต้องน้อยกว่าค่ากำลังรับแรงอัดที่ให้ไว้ในสมการที่ (3.8)

$$\frac{P_u}{\sin \theta} \leq \phi F_{ns} \quad (3.8)$$

$$= \phi (0.85 \times 0.6 \times f'_c) (B) (B_w \sin \theta + w_f \cos \theta)$$

โดยที่

$$\sin \theta = \frac{d_f}{\sqrt{d_f^2 + a^2}}$$

$$\cos \theta = \frac{a}{\sqrt{d_f^2 + a^2}}$$

เพื่อพิจารณาค่าความลึกประสิทธิภาพของบารองรับจะต้องแก้สมการที่ (3.8) จะได้สมการ (3.9)

$$d_f = \frac{-\left(a \frac{w_f}{B_w}\right) + \sqrt{\left(a \frac{w_f}{B_w}\right)^2 - 4 \times \left(1 - \frac{P_u}{\phi(0.85 \times 0.6 \times f'_c)(B \times B_w)}\right) \left(\frac{P_u a^2}{\phi(0.85 \times 0.6 \times f'_c)(B \times B_w)}\right)}}{2 \left(1 - \frac{P_u}{\phi(0.85 \times 0.6 \times f'_c)(B \times B_w)}\right)} \quad (3.9)$$

3.2 พฤติกรรมการรับแรงดัดในขั้นตอนการก่อสร้างคานสำเร็จรูป (บ่ารองรับ)

ในขั้นตอนของการก่อสร้างคานคอนกรีตสำเร็จรูปซึ่งเป็นส่วนของบ่ารองรับ จนถึงการหล่อส่วนเอวเป็นคานขวางรูปตัวทีหงาย พฤติกรรมจะอยู่ในช่วงอิลาสติก กล่าวคือไม่มีรอยแตกในคอนกรีต และเหล็กเสริมอัดแรงไม่ถึงจุดคราก ซึ่งสามารถนำทฤษฎีอิลาสติกมาวิเคราะห์หาหน่วยแรงที่เกิดขึ้นในคอนกรีต หน่วยแรงนี้จะขึ้นอยู่กับค่าโมเมนต์เนื่องจากแรงน้ำหนักคานสำเร็จรูปและน้ำหนักคอนกรีตเหลวที่ใช้หล่อส่วนของเอวในที่ก่อสร้าง ในกรณีที่เป็นคานคอนกรีตเสริมเหล็ก ค่าหน่วยแรงจะคำนวณตามสมการที่ (3.10ก) ในกรณีที่เป็นคานคอนกรีตเสริมเหล็กอัดแรงค่าหน่วยแรงยังจะขึ้นอยู่กับแรงอัดประสิทธิผลในขั้นตอนการก่อสร้างนี้ ($F_{e,f}$) ตามสมการที่ (3.10ข)

$$f = \mp \frac{M_{D,f} y_f}{I_f} \mp \frac{M_{D,w} y_f}{I_f} \quad (3.10ก)$$

$$f = -\frac{F_{e,f}}{A_f} \pm \frac{F_{e,f} e_f y_f}{I_f} \mp \frac{M_{D,f} y_f}{I_f} \mp \frac{M_{D,w} y_f}{I_f} \quad (3.10ข)$$

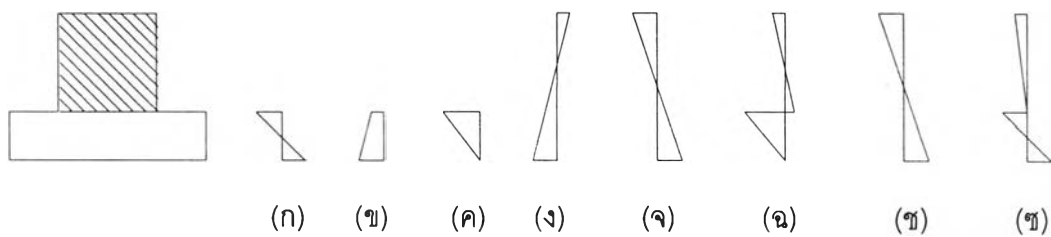
โดยที่ตัวแปรในสมการคือ (รูปที่ 3.6ก-3.6ค)

- f = หน่วยแรงใดๆ บนหน้าตัด
- $F_{e,f}$ = แรงอัดประสิทธิผลในขั้นตอนการก่อสร้างบ่ารองรับ
- e_f = ระยะเยื้องศูนย์กลางของแรงอัดในบ่ารองรับ
- y_f = ตำแหน่งใดๆ บนหน้าตัด
- $M_{D,f}$ = ค่าโมเมนต์เนื่องจากน้ำหนักของบ่ารองรับ
- $M_{D,w}$ = ค่าโมเมนต์เนื่องจากน้ำหนักของเอว
- A_f = พื้นที่หน้าตัดของบ่ารองรับ
- I_f = โมเมนต์ความเฉื่อยของบ่ารองรับ

ปริมาณแรงดัดในเหล็กเสริมอัดแรงที่ใช้ในขั้นตอนการก่อสร้างนี้ สามารถพิจารณาจากการควบคุมไม่ให้เกิดรอยแตกในบ่ารองรับ ซึ่งเขียนเป็นสมการของหน่วยแรงที่ผิวบนของบ่ารองรับใน

ขั้นตอนการอัดแรงและสมการของหน่วยแรงที่ผิวล่างของบารองรับในขั้นตอนที่เทคอนกรีตส่วนของเอว ดังแสดงในสมการที่ (3.11)

$$\begin{aligned}
 &-\frac{F_{e,f}}{A_f} + \frac{F_{e,f}e_f y_f}{I_f} - \frac{M_{D,f} y_f}{I_f} < f_{cr} \\
 &\frac{F_{e,f}}{A_f} - \frac{F_{e,f}e_f y_f}{I_f} + \frac{(M_{D,f} + M_{D,w}) y_f}{I_f} < f_{cr}
 \end{aligned}
 \tag{3.11}$$



รูปที่ 3.6 การกระจายของค่าความเคียดในแต่ละขั้นตอนการก่อสร้าง : (ก) เนื่องจากน้ำหนักส่วนบารองรับ, (ข) เนื่องจากแรงอัดบางส่วนในบารองรับ, (ค) ผลลัพธ์ของขั้นตอน (ก) และ (ข), (ง) เนื่องจากแรงอัดเพิ่มเติมเมื่อส่วนของเอวช่วยรับแรง, (จ) เนื่องจากน้ำหนักบรรทุกคงที่จากคานหลัก, (ฉ) ผลลัพธ์ของขั้นตอน (ค) (ง) และ (จ), (ช) เนื่องจากน้ำหนักบรรทุกจร

3.3 พฤติกรรมการรับแรงดัดของคานขวางรูปตัวทีที่สำเร็จรูป

พฤติกรรมการรับแรงดัดของโครงสร้างคอนกรีตเสริมเหล็ก หรือ โครงสร้างคอนกรีตอัดแรงโดยทั่วไปจะศึกษาจากความสัมพันธ์ระหว่างโมเมนต์และความโค้งบนหน้าตัด ซึ่งจะช่วยให้ทราบถึงพฤติกรรมของหน้าตัดทางด้านกำลัง ความเหนียว และหน่วยแรงที่เกิดขึ้นในคอนกรีตและเหล็กเสริม ในการศึกษานี้จะนำความสัมพันธ์ระหว่างโมเมนต์และความโค้งมาศึกษาพฤติกรรมของคานขวางรูปทีนภายหลังจากที่ได้หาล้อส่วนของเอวแล้ว ในการวิเคราะห์จะต้องทราบถึงแบบจำลองความเคียดและหน่วยแรงของทั้งคอนกรีต, เหล็กเสริม, และเหล็กดัดอัดแรง

3.3.1 ความสัมพันธ์ระหว่างหน่วยแรงและความเครียดของวัสดุ

ความสัมพันธ์ของหน่วยแรงอัดและความเครียดในคอนกรีตจะเป็นแบบไม่เชิงเส้น Hognestad (1951) ได้เสนอสมการจำลองความสัมพันธ์ระหว่างหน่วยแรงอัดและความเครียดของคอนกรีตดังนี้

$$\sigma_c = f'_c \left(2 \left(\frac{\epsilon}{\epsilon_0} \right) - \left(\frac{\epsilon}{\epsilon_0} \right)^2 \right) \quad (3.12)$$

โดย

f'_c = หน่วยแรงในคอนกรีตที่ความเครียดใดๆ

f'_c = กำลังอัดของแท่งคอนกรีตรูปทรงกระบอกสูง 30 cm เส้นผ่านศูนย์กลาง 15 cm

ϵ = ค่าความเครียดใดๆ

ϵ_0 = ความเครียดเมื่อคอนกรีตมีหน่วยแรงสูงสุดเท่ากับ f'_c

ความสัมพันธ์ของหน่วยแรงและความเครียดของเหล็กเสริมใช้แบบจำลองแบบอีลาสติก-พลาสติก ตามสมการที่ (3.13)

$$\begin{aligned} f_s &= E_s \epsilon_s && ; \epsilon \leq \epsilon_y \\ &= f_y && ; \epsilon > \epsilon_y \end{aligned} \quad (3.13)$$

ความสัมพันธ์ของหน่วยแรงดึงและความเครียดของเหล็กเสริมอัดแรงจะใช้ความสัมพันธ์ตามสมการที่ (3.14)

$$f_{ps} = E \epsilon_{ps} \left[0.013 + \frac{0.987}{\sqrt{1 + (108 \times \epsilon_{ps})^6}} \right] \quad (3.14)$$

3.3.2 การวิเคราะห์ความสัมพันธ์ระหว่างโมเมนต์ดัดกับความโค้ง

หลังจากที่คอนกรีตส่วนเอวแข็งตัวและมีกำลังเพียงพอ จะทำการดึงเหล็กเสริมอัดแรงเพิ่มเติมเพื่อให้คานขวางมีกำลังรับแรงดัดตามที่ได้ออกแบบไว้ การกระจายตัวของค่า

ความเครียดหลังจากอัดแรงเพิ่มเติมและวางคานหลักแล้ว จะมีลักษณะดังแสดงตามรูปที่ 3.6จ ในที่นี้ค่าความโค้งเนื่องจากการอัดแรงเพิ่มเติมจะเป็นค่าความโค้งเริ่มต้น (ดูรูปที่ 3.6ง)

การวิเคราะห์หน้าตัดจะนำหลักการความเครียดสอดคล้องมาใช้ร่วมกับสมมูลของแรงที่หน้าตัด เพื่อหาความสัมพันธ์ของโมเมนต์และความโค้งของหน้าตัด รูปที่ 3.6ข แสดงการกระจายค่าความเครียดเนื่องจากโมเมนต์กระทำจากภายนอก ซึ่งเมื่อนำไปรวมกับค่าความเครียดที่มีอยู่เดิมจากขั้นตอนการก่อสร้างก่อนหน้าจะมีค่าความรวมดังแสดงในรูปที่ 3.6ค จากการกระจายค่าความเครียดนี้จะสามารถคำนวณหาแรงอัดเนื่องจากคอนกรีต และแรงดึงเนื่องจากเหล็กเสริมโดยที่ผลรวมของแรงสองส่วนนี้ต้องเท่ากับศูนย์สำหรับการวิเคราะห์คาน เพื่อที่หน้าตัดอยู่ในสภาวะสมดุล

เมื่อหน้าตัดอยู่ในสมดุล ค่าความโค้งและค่าโมเมนต์จะสามารถคำนวณได้ตามสมการที่ (3.15) และ (3.16) ตามลำดับ

$$\phi = \frac{\varepsilon_c}{c} \quad (3.15)$$

$$M = T(d - c + \bar{x}) \quad (3.16)$$

โดยที่

ϕ = ค่าความโค้งใดๆ

ε_c = ค่าความเครียดที่ผิวบน

M = โมเมนต์เนื่องจากแรงกระทำ

C_c = แรงอัดลัพท์

T = แรงดึงในเหล็กเสริม

d = ระยะตำแหน่งเหล็กเสริม

c = ระยะที่ค่าความเครียดเป็นค่าความเครียดอัด

\bar{x} = ตำแหน่งที่แรงอัดลัพท์กระทำบนหน้าตัด

เนื่องจากค่าความเครียดอัดกระจายอยู่ในคอนกรีตดังนั้นจึงจำเป็นต้องทำการหาแรงอัดลัพท์ในคอนกรีต (C_c) และค่าโมเมนต์เนื่องจากแรงอัดในคอนกรีต (M_c) จากการอินทิเกรตค่าของหน่วยแรงในพื้นที่ของคอนกรีตที่รับแรงอัด ดังแสดงในสมการที่ (3.14)-(3.17)

$$f_c = f'_c \left(\frac{2\phi x}{\varepsilon_0} - \left(\frac{\phi x}{\varepsilon_0} \right)^2 \right); \varepsilon = \phi x \quad (3.17)$$

$$C_c = \int_0^c f_c b dx = b f_c' \int_0^c \left(\frac{2\phi x}{\epsilon_0} - \frac{\phi^2 x^2}{\epsilon_0^2} \right) dx \quad (3.18)$$

$$C_c = b f_c' \frac{\phi}{\epsilon_0} c^2 \left(1 - \frac{\phi c}{2\epsilon_0} \right) \quad (3.19)$$

$$M_c = \int_0^c f_c b x dx = b f_c' \int_0^c \left(\frac{2\phi x}{\epsilon_0} - \frac{\phi^2 x^2}{\epsilon_0^2} \right) x dx \quad (3.20)$$

เมื่อจัดรูปสมการที่ (3.20) ให้อยู่ในรูปของแรงอัดลัพท์จะได้ค่าตำแหน่งที่แรงอัดลัพท์กระทำในคอนกรีตดังแสดงในสมการที่ (3.21)

$$\begin{aligned} C_c \bar{x} &= M_c \\ \bar{x} &= c \left(\frac{8\epsilon_0 - 3\phi c}{12\epsilon_0 - 4\phi c} \right) \end{aligned} \quad (3.21)$$

ในทำนองเดียวกันแรงดึงในเหล็กเสริมและเหล็กเสริมอัดแรง (T) จะสามารถคำนวณได้จากค่าความเครียด ณ ตำแหน่งเหล็กเสริม

ในการศึกษานี้จะทำการวิเคราะห์ที่ 3 สภาวะคือ จุดที่ความเครียดที่คอนกรีตที่ผิวล่างของคอนกรีตเกิดการแตกร้าว, จุดที่เหล็กเสริมรับแรงดึงถึงจุดคราก, และจุดประลัยเมื่อค่าความเครียดอัดที่ผิวบนสุดถึงค่าความเครียดอัดแตก (0.003)

ค่าความเหนียวสามารถพิจารณาจากสัดส่วนของค่าความโค้งที่จุดประลัยต่อค่าความโค้งที่จุดคราก

3.4 การแอ่นตัวของคานคอนกรีต

ในการคิดค่าการแอ่นตัวที่เกิดขึ้นทันทีหลังมีน้ำหนักบรรทุกทุกสามารถคิดจากการทฤษฎีอีลาสติก หากไม่มีการแตกร้าวสามารถใช้ค่าสติเฟนสของหน้าตัดทั้งหมด $E_c I_g$ ในการพิจารณาการแอ่นตัว ในกรณีที่มีการแตกร้าวเกิดขึ้นในคอนกรีตค่าโมเมนต์ความเฉื่อยประลัย I_e ซึ่งมีค่าอยู่ระหว่าง I_g และ I_{cr} โดยเป็นฟังก์ชันของ M_{cr}/M_a

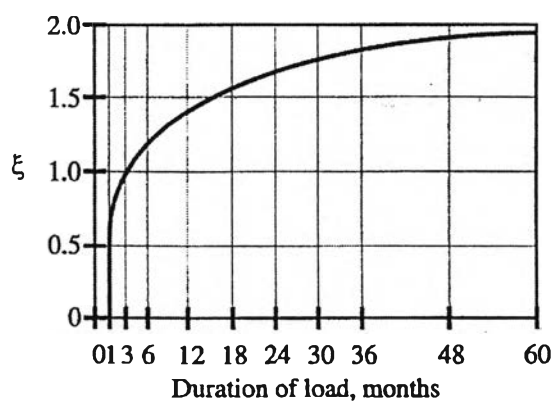
$$I_e = \left(\frac{M_{cr}}{M_a} \right)^3 I_g + \left[1 - \left(\frac{M_{cr}}{M_a} \right)^3 \right] I_{cr} \quad (3.22)$$

โดยที่ M_o = ค่าโมเมนต์มากที่สุดเมื่อคำนวณการแอ่นตัว

การแอ่นตัวที่เกิดขึ้นในระยะยาวสามารถคำนวณได้จากสมการที่ให้ไว้ในมาตรฐาน ACI318-05 สำหรับหน้าตัดที่เกิดการแตกร้าวแล้วโดยการคูณค่าการแอ่นตัวในทันทีด้วยตัวคูณ λ_Δ

$$\lambda_\Delta = \frac{\xi}{1 + 50\rho'} \quad (3.23)$$

เมื่อค่า ρ' คำนวณได้จากกลางช่วงคานและค่า ξ คือค่าตัวคูณที่ขึ้นอยู่กัเวลาสำหรับน้ำหนักบรรทุกตายตัวใช้ 2.0 สำหรับ 5 ปีขึ้นไป



รูปที่ 3.7 ค่าตัวคูณสำหรับการแอ่นตัวระยะยาว

สำหรับหน้าตัดที่ยังไม่แตกร้าวคิดได้จากคูณค่าการแอ่นตัวที่คำนวณจากทฤษฎีอีลาสติกในทันทีทันทีด้วยค่าสัมประสิทธิ์การคืบ C_c

$$\Delta_{longterm} = C_c \times \Delta \quad (3.24)$$

โดย $C_c = (1 + \text{ความเครียดจากการคืบ} / \text{ความเครียดที่เกิดขึ้นทันที})$

3.5 ขนาดของรอยร้าวจากการดัด

เนื่องจากความกว้างรอยร้าวมีผลต่อความคงทน (durability) ของโครงสร้างคอนกรีตเสริมเหล็ก สมการการคำนวณความกว้างของรอยร้าวมีพื้นฐานจากผลทางสถิติได้จากการทดสอบซึ่งในการศึกษานี้ใช้แบบจำลองเสนอโดย Gergely และ Lutz (1968) ดังแสดงในสมการที่ (3.25)

$$w_c = 1.0806 \times 10^{-6} \beta f_s \times \sqrt[3]{d_c A} \quad \text{เซนติเมตร} \quad (3.25)$$

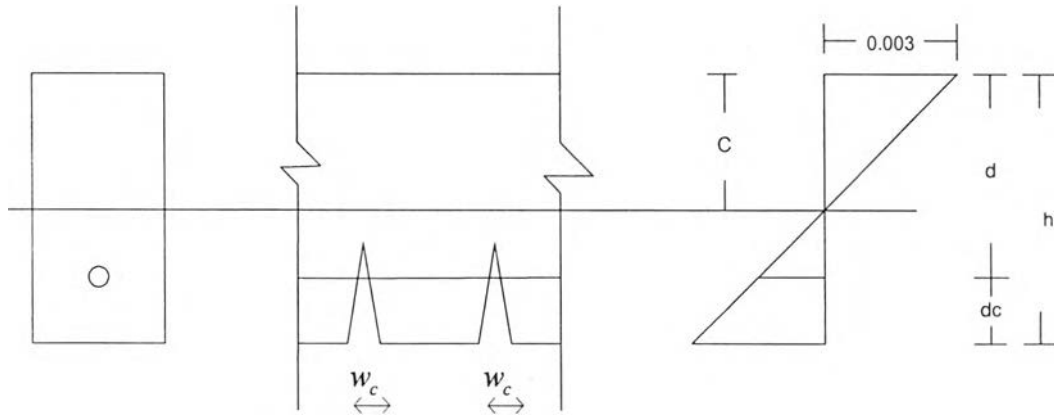
โดย

β = อัตราส่วนระยะจากแกนสะเทินถึงผิวล่างสุดรับแรงดึงของ หน้าตัดคาน และระยะจากแกนสะเทินถึงจุดศูนย์กลางแรงดึง

f_c = ความเค้นของเหล็ก

d_c = ระยะหุ้มของคอนกรีตวัดจากศูนย์กลางของเหล็กแฉวล่างสุด

A = พื้นที่ประสิทธิผลของคอนกรีตล้อมรอบเหล็กเสริม



รูปที่ 3.8 การกระจายความเค้นในหน้าตัดแตกร้าวและค่าที่ใช้ในการคำนวณความกว้างรอยร้าว